

Laboratorium problemowe

Suwnica 3-D

Maciej Cebula
Maciej Talar

Spis treści

1	Laboratorium nr 1	2
1.1	Cel zajęć	2
1.2	Plan działania	3
2	Laboratorium nr 2	4
2.1	Identyfikacja parametrów	4
2.1.1	Wyznaczenie parametrów silników elektrycznych.	4
2.1.2	Wyznaczenie tarcia statycznego.	7
2.1.3	Badanie wpływu ruchu ciężarka na ruch wózka.	8
2.1.4	Wyznaczenie modelu oscylacyjnego dla podwieszonego ciężarka	9
2.1.5	Porównanie pełnego modelu z obiektem	10
2.2	Obserwator Luenbergera	14
2.3	Model matematyczny	14
2.3.1	Model nieliniowy	16
2.3.2	Model liniowy	16
2.3.3	Przykładowy regulator PID i PD	16

Laboratorium nr 1

1.1 Cel zajęć

Celem zajęć jest zaproponowanie sposobu sterowania suwnicą 3D, które umożliwi przetransportowanie podwieszonego ładunku pomiędzy dwoma punktami w przestrzeni. Zadanie to polega na przeprowadzeniu szeregu badań, na bazie których to zaprojektowany zostanie regulator realizujący postawione zadanie. Wartości sterowania w tym przypadku będą podawane na trzy silniki prądu stałego odpowiedzialne za przemieszczanie wózka z podwieszonym ładunkiem wzdłuż trzech osi. Przebieg całego zadania można wstępnie podzielić na następujące etapy:

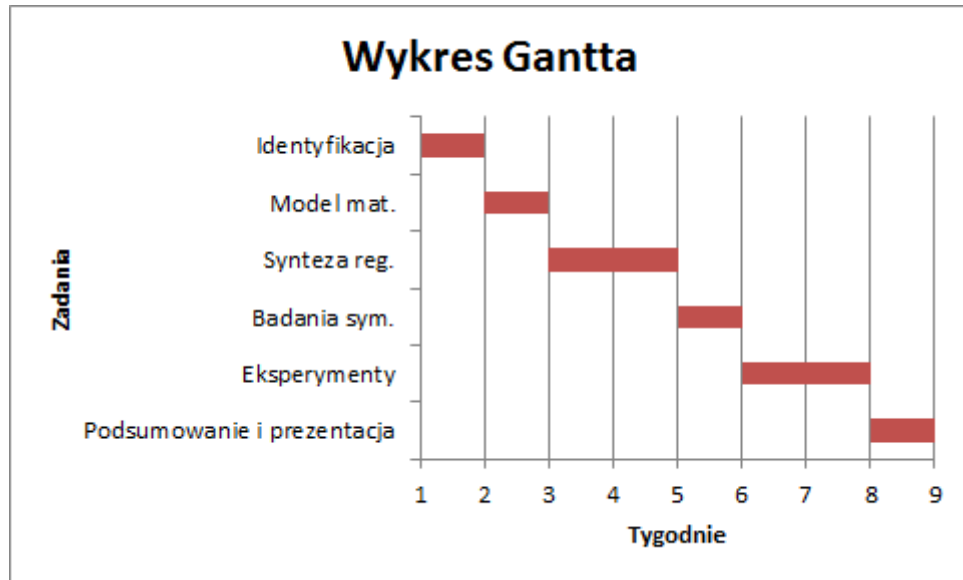
1. Identyfikacja parametrów obiektu
2. Stworzenie modelu matematycznego
3. Zaproponowanie struktury regulatora w formie ciągłej odpowiedzialnego za realizację postawionego zadania
4. Przeprowadzenie badań symulacyjnych w środowisku MATLAB/SIMULINK
5. Przeprowadzeniu eksperymentów i porównaniu ich wyników z wynikami symulacji
6. Realizacja wybranego regulatora w formie dyskretniej i porównaniu efektów jego działania z wersją ciągłą
7. Prezentacja i omówienie otrzymanych wyników

Aby móc porównać poszczególne wyniki sterowania uzyskane dla różnych struktur regulatora konieczne będzie zdefiniowanie wskaźników jakości. Na tym etapie najbardziej odpowiednio wydają się być:

1. czas regulacji
2. maksymalne odchylenie od położenia pionowego podwieszonego ładunku

1.2 Plan działania

Z racji na dość napięty grafik na poniższym wykresie Gantta przedstawiającym szacunkowy czas potrzebny na realizację poszczególnych etapów laboratorium nie uwzględniono syntezy regulatora dyskretnego. Przedstawiony podział może ulegać korektom w wyniku wystąpienia trudności w realizacji poszczególnych zadań.



Rys. 1.1: Wykres Gantta poszczególnych etapów laboratorium.

Laboratorium nr 2

2.1 Identyfikacja parametrów

Proces identyfikacji polegał na wyznaczeniu parametrów silników napędzających wózek wzdłuż osi X i Y. Z racji na to, że w układzie występuje racie statyczne przyjęto model o następującej transmitancji:

$$G(s) = \frac{X(s)}{U(s)} = \frac{K}{s(Ts + 1)} \quad (2.1)$$

gdzie:

$X(s)$ - położenie wózka

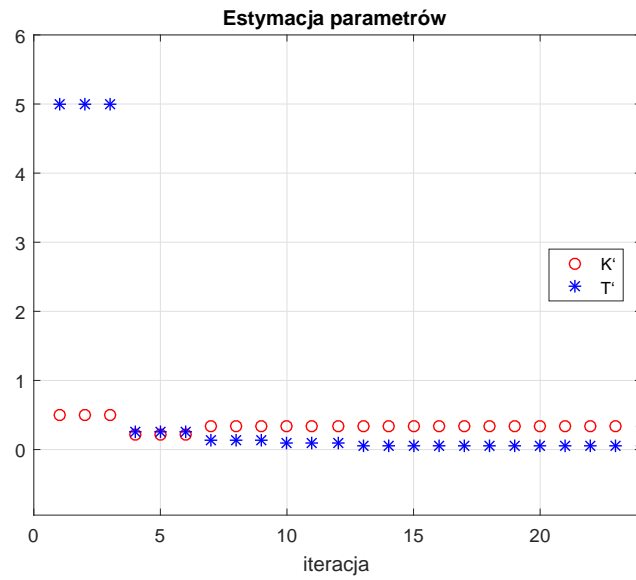
$u(s)$ - sterowanie w postaci współczynnika wypełnienia sygnału PWM

Dla każdej z osi X i Y przeprowadzano eksperyment polegający na rejestrowaniu położenia wózka w reakcji na zadane sterowanie. Na podstawie otrzymanych danych otrzymano przybliżone wartości parametrów K , T , $I\tau$ z wykorzystaniem metody najmniejszych kwadratów. W tabeli 2.1 zamieszczono wyniki całej procedury.

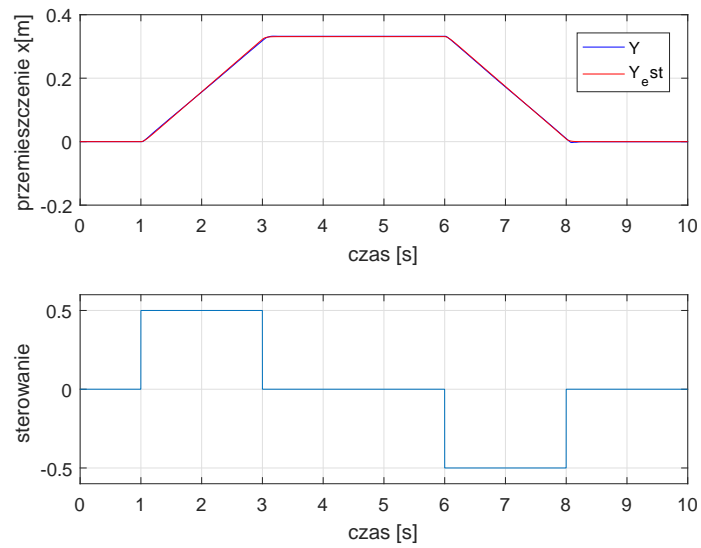
Tabela 2.1: Parametry przyjętego modelu silników.

Oś	K	T
X	0.3224	0.0471
Y	0.3184	0.057

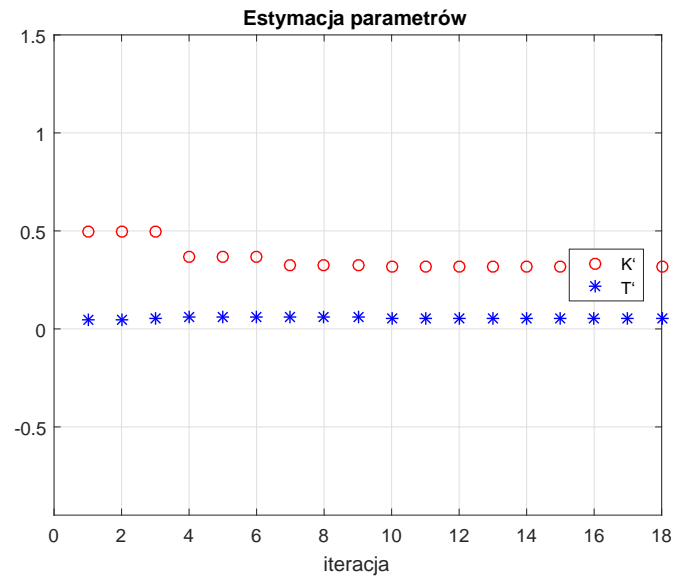
2.1.1 Wyznaczenie parametrów silników elektrycznych.



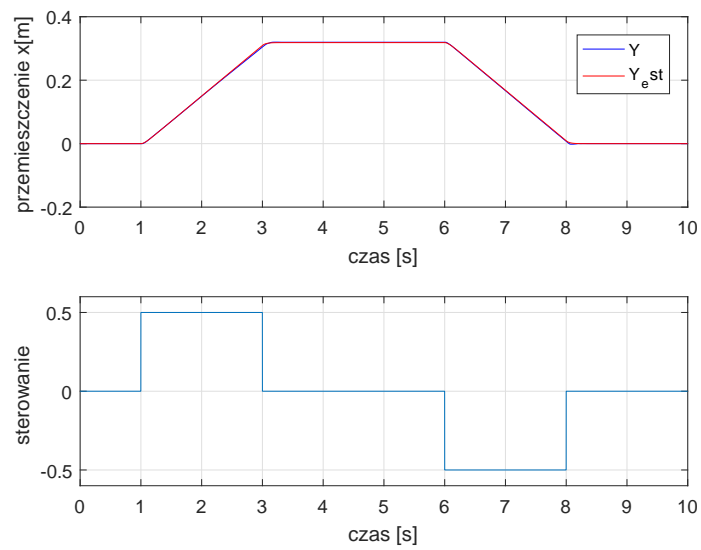
Rys. 2.1: Przebieg estymacji parametrów . Ruch wzdłuż osi X. Metoda najmniejszych kwadratów.



Rys. 2.2: Porównanie odpowiedzi obiektu z modelem.

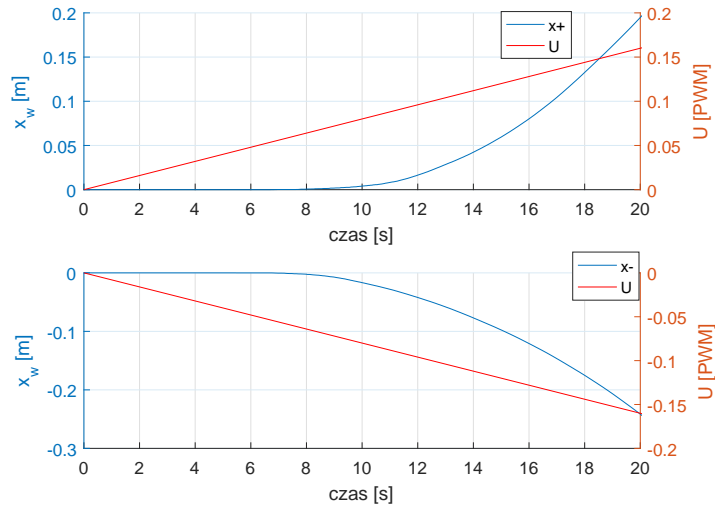


Rys. 2.3: Przebieg estymacji parametrów . Ruch wzdłuż osi Y. Metoda najmniejszych kwadratów.



Rys. 2.4: Porównanie odpowiedzi obiektu z modelem.

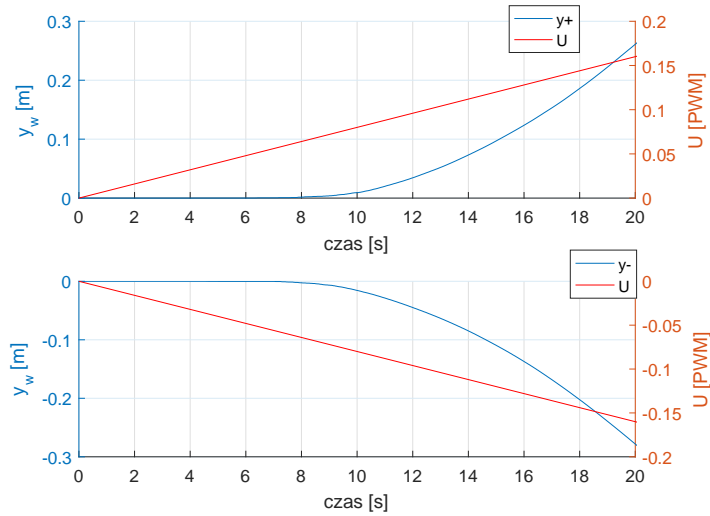
2.1.2 Wyznaczenie tarcia statycznego.



Rys. 2.5: Wyznaczenie tarcia statycznego oś X .

$$U_- = 0.056648$$

$$U_+ = 0.05782$$

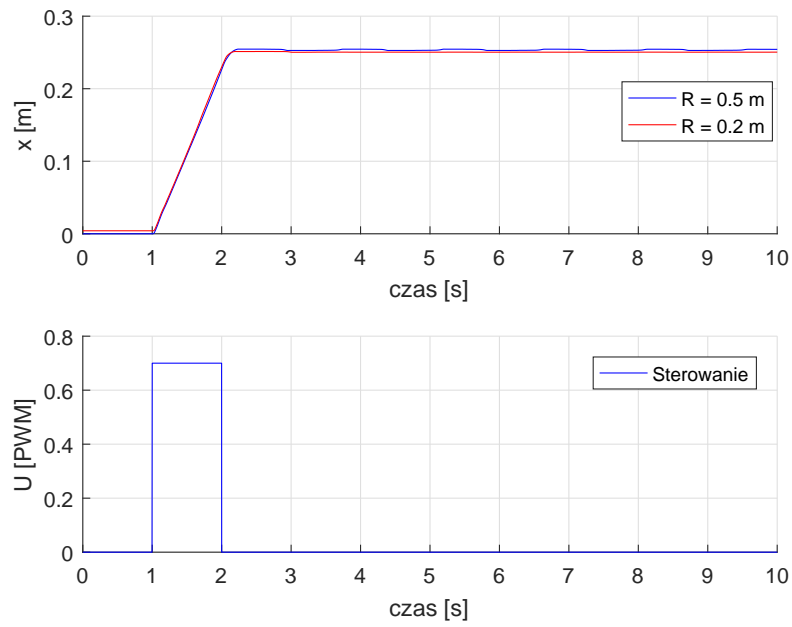


Rys. 2.6: Wyznaczenie tarcia statycznego oś Y.

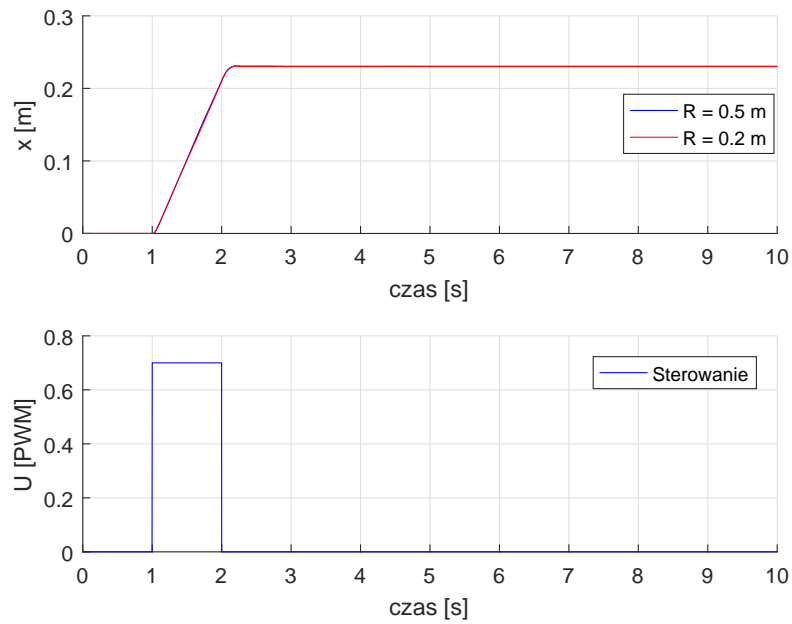
$$U_- = 0.06738$$

$$U_+ = 0.06692$$

2.1.3 Badanie wpływu ruchu ciężarka na ruch wózka.



Rys. 2.7: Porównanie położenia wózka dla różnych długości linki - R, oś Y.



Rys. 2.8: Porównanie położenia wózka dla różnych długości linki - R, oś X.

2.1.4 Wyznaczenie modelu oscylacyjnego dla podwieszonego ciężarka

Przyjęty model wahadła z tłumieniem:

$$G(s) = \frac{K\omega_0^2}{s^2 + 2\xi\omega_0 s + \omega_0^2} \quad (2.2)$$

gdzie:

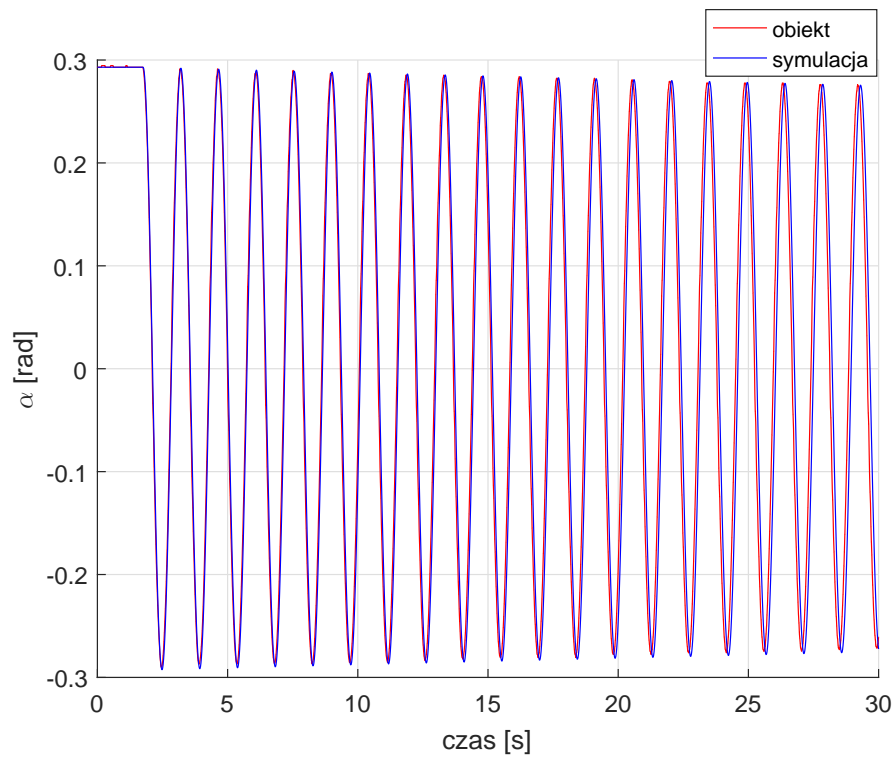
K - współczynnik wzmocnienia,

ξ - współczynnik tłumienia,

ω_w - częstotliwość drgań własnych ciężarka,

$\omega_0 = \frac{\omega_w}{\sqrt{1-\xi^2}}$ - częstotliwość drgań swobodnych

Kąt α



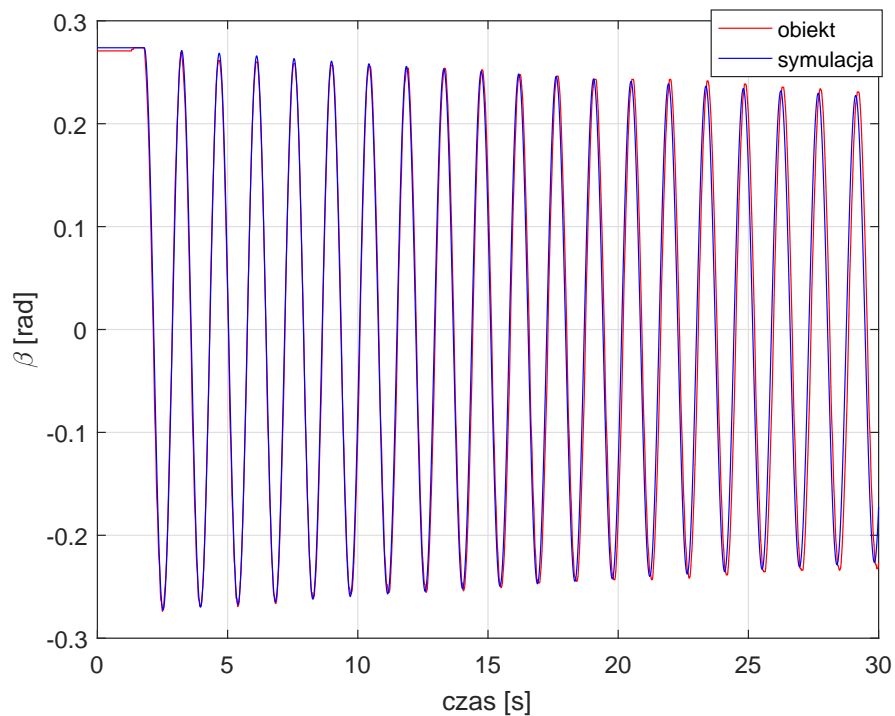
Rys. 2.9: Porównanie kąta wychylenia wahadła wzdłuż osi X.

$$K_x = 0.107$$

$$\omega_w = 4.331 \left[\frac{rad}{s} \right]$$

$$\xi_x = 5.139 \cdot 10^{-4}$$

$$\omega_{0x} = \frac{\omega_w}{\sqrt{1 - \xi^2}} = 4.331 \frac{rad}{s}$$



Rys. 2.10: Porównanie kąta wychylenia wahadła wzdłuż osi Y.

$$K_y = 0.09107$$

$$\omega_w = 4.37 \left[\frac{rad}{s} \right]$$

$$\xi_y = 1.5526 \cdot 10^{-3}$$

$$\omega_{0y} = \frac{\omega_w}{\sqrt{1 - \xi^2}} = 4.371 \frac{rad}{s}$$

2.1.5 Porównanie pełnego modelu z obiektem

Tłumienie drgań

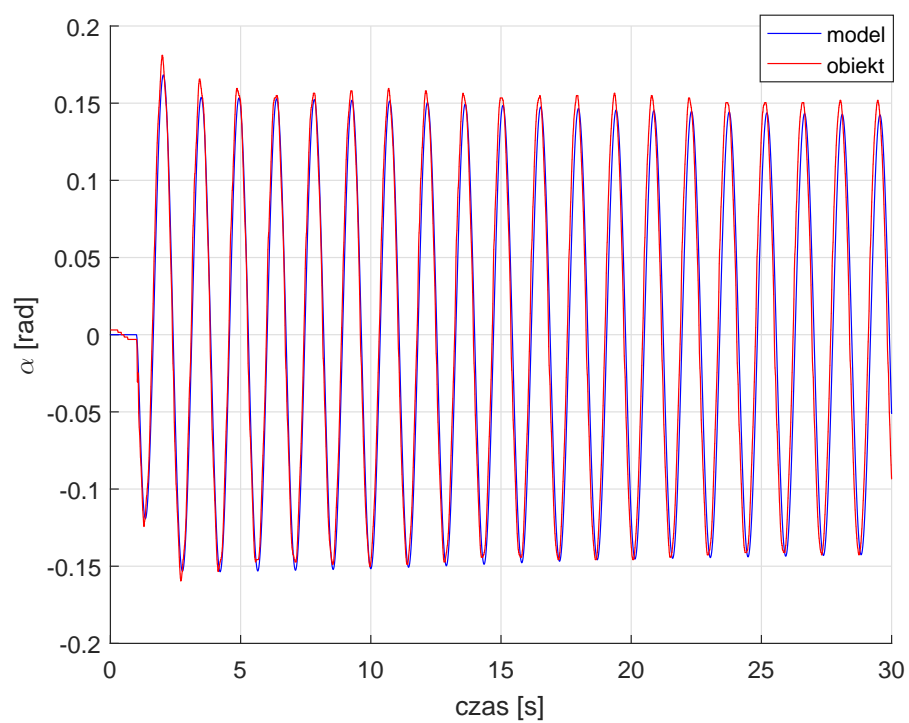
Nastawy regulatorów:

Regulator PID pozycjonujący wózek:

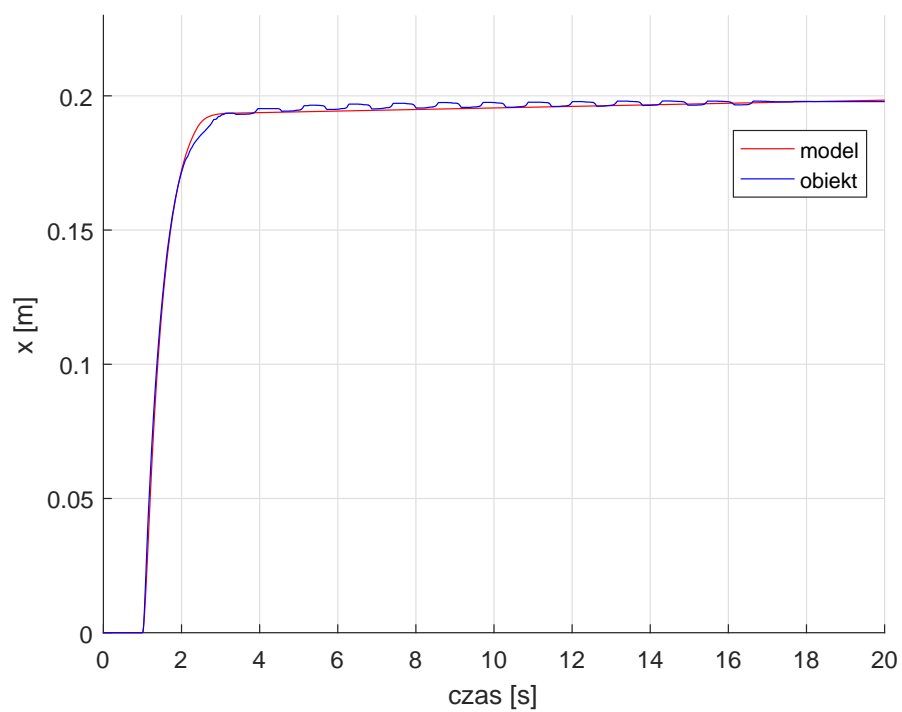
$$K = 10, \quad T_i = 0.005, \quad T_d = 2 \quad (2.3)$$

Regulator PD niwelujący kąt odchylenia ciężarka:

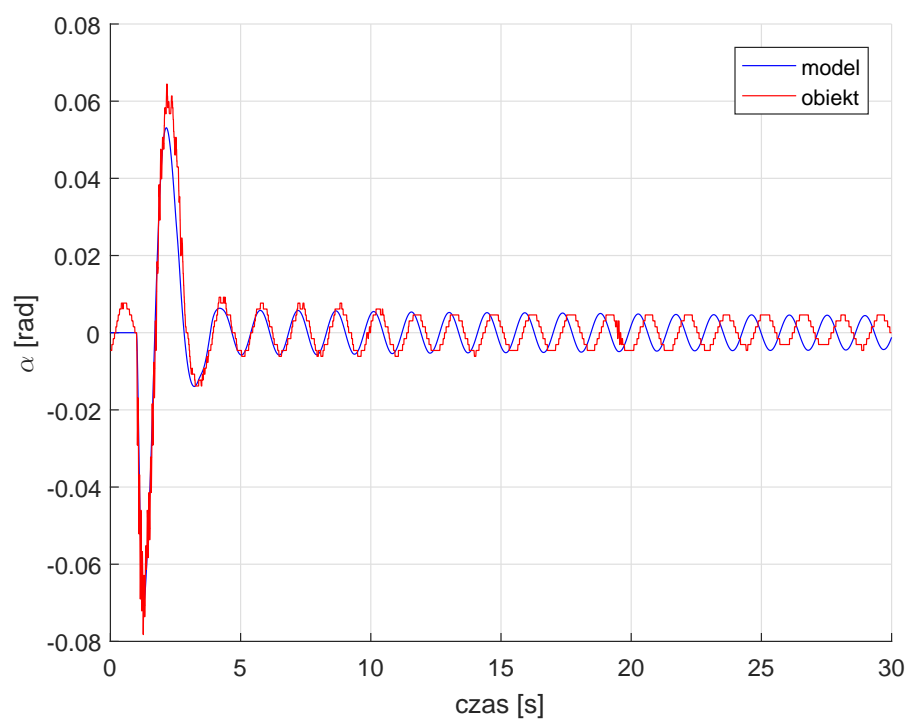
$$P = 10, \quad T_d = 0.01 \quad (2.4)$$



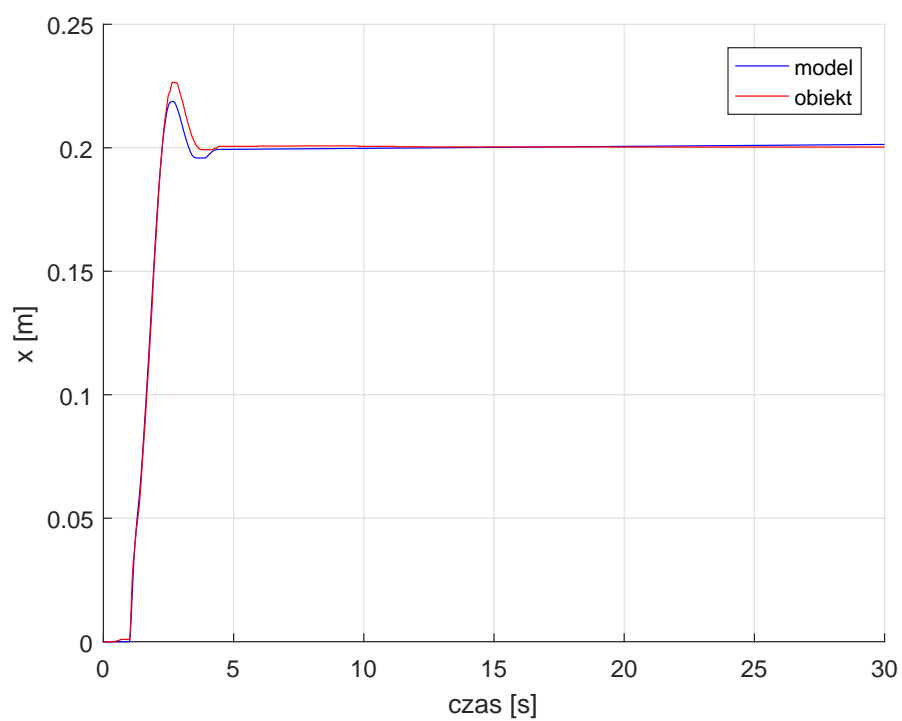
Rys. 2.11: Porównanie kąta wychYLENIA ładunku modelu z obiektem oś X.



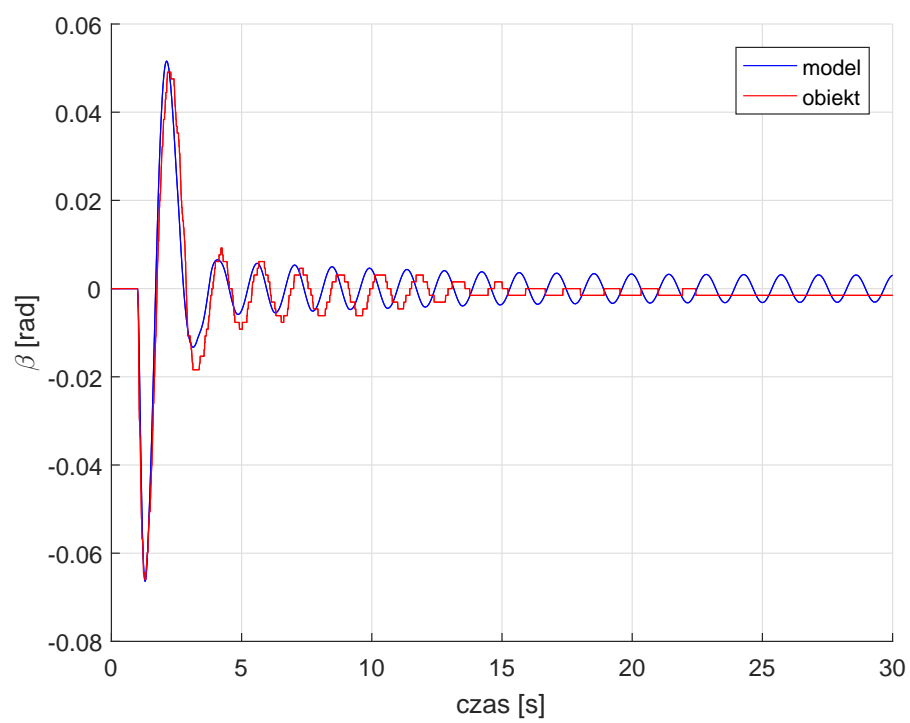
Rys. 2.12: Porównanie położenia wózka modelu z obiektem, oś X.



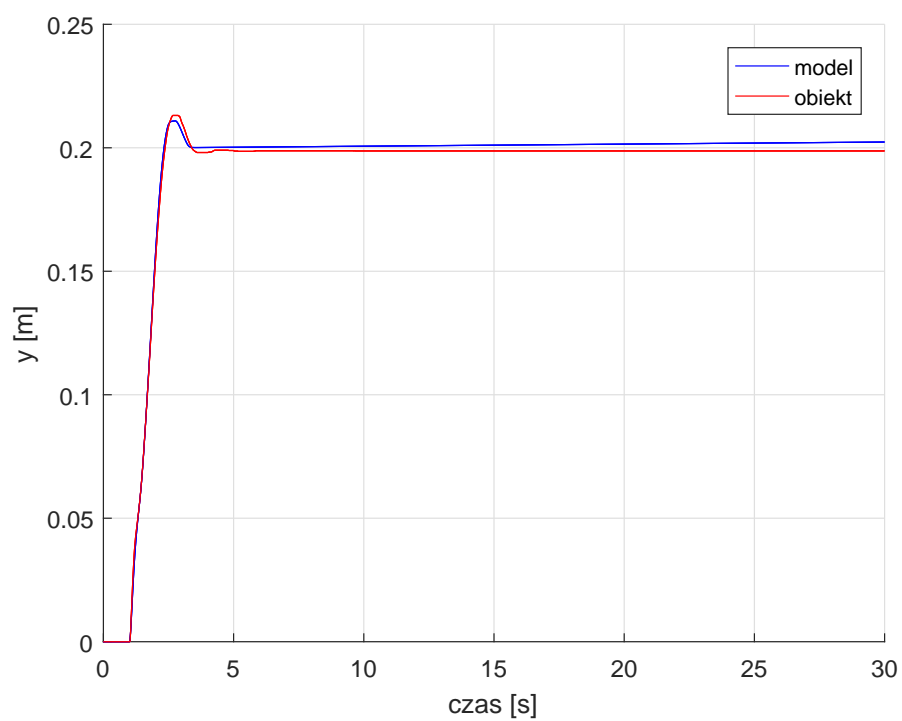
Rys. 2.13: Porównanie kąta wychYLENIA ładunku modelu z obiektem oś X.



Rys. 2.14: Porównanie położenia modelu wózka z obiektem, oś X.



Rys. 2.15: Porównanie kąta wychyleńia ładunku modelu z obiektem oś Y.



Rys. 2.16: Porównanie położenia modelu wózka z obiektem, oś Y.

2.2 Obserwator Luenbergera

Przyjęte zmienne stanu:

$x_1 = x$ - położenie wózka wzdłuż kolejnych osi,

$x_2 = \alpha$ - kąt wychylenia wahadła

$x_3 = \dot{\alpha}$ - pochodna kąta wychylenia wahadła

$$G_m(s) = \frac{K_m}{s(Ts + 1)} \quad (2.5)$$

$$G_w(s) = \frac{K\omega_0^2}{s^2 + \xi\omega_0 s + \omega_0^2} \quad (2.6)$$

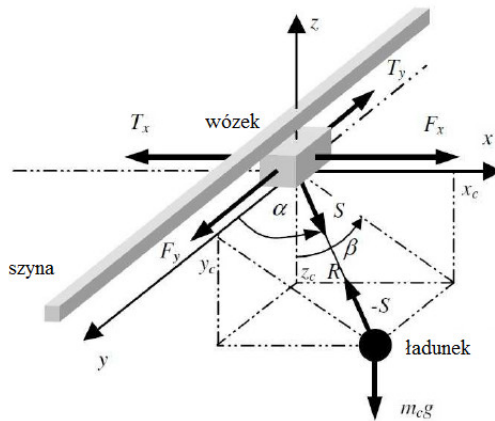
Korzystając z przyjętych transmitancji opisujących silnik elektryczny i wychylenie wahadła równania 2.5 i 2.6, otrzymano następujące równania stanu:

$$\begin{bmatrix} \dot{x}_1 \\ \dot{x}_2 \\ \dot{x}_3 \end{bmatrix} = \begin{bmatrix} \frac{-1}{T} & 0 & 0 \\ 0 & 0 & 1 \\ \frac{-K\omega_0^2}{T} & -\omega_0^2 & -2\xi\omega_0 \end{bmatrix} \cdot \begin{bmatrix} x_1 \\ x_2 \\ x_3 \end{bmatrix} + \begin{bmatrix} \frac{K_m}{T} \\ 0 \\ \frac{KK_m\omega_0^2}{T} \end{bmatrix} u \quad (2.7)$$

$$y = \begin{bmatrix} 1 & 0 & 0 \\ 0 & 1 & 0 \end{bmatrix} \cdot \begin{bmatrix} x_1 \\ x_2 \\ x_3 \end{bmatrix} \quad (2.8)$$

Na podstawie równań 2.7 i 2.8 zaprojektowano obserwator pełnego rzędu.

2.3 Model matematyczny



Rys. 2.17: Schemat stanowiska. Opracowano na podstawie [2]

Na podstawie [1] i [2] opracowano następujący model matematyczny obiektu. W zaprezentowanych poniżej równaniach przyjęto następujące oznaczenia:

x_c, y_c - położenie wózka odpowiednio wzdłuż osi x i y,
 x_c, y_c, z_c - położenie ładunku odpowiednio wzdłuż osi X, Y, Z,
 R - długość linki na której podwieszony jest ładunek,
 α - kąt pomiędzy osią X a liną,
 β - kąt pomiędzy ujemną częścią osi Z a rzutem liny na płaszczyznę YZ,
 $m_w = 1.155 \text{ kg}$ - masa wózka,
 $m_s = 2.2 \text{ kg}$ - masa szyny,
 $m_c = 1 \text{ kg}$ - masa ładunku,
 u_1, u_2, u_3 - sterowania w postaci przyspieszenia działające wzdłuż kolejnych osi X,Y,Z.

Do opisu całego układu za pomocą równań stanu przyjęto następujące zmienne stanu:

$$\begin{aligned}
 x_1 &= x_c \\
 x_2 &= \dot{x}_c = \dot{x}_1 \\
 x_3 &= y_c \\
 x_4 &= \dot{y}_c = \dot{x}_3 \\
 x_5 &= \alpha \\
 x_6 &= \dot{\alpha} = \dot{x}_5 \\
 x_7 &= \beta \\
 x_8 &= \dot{\beta} = \dot{x}_7 \\
 x_9 &= R \\
 x_{10} &= \dot{R} = \dot{x}_9
 \end{aligned}$$

Dodatkowo wprowadzono oznaczenia:

$$\sin(x_i) = s_i \quad (2.9)$$

$$\cos(x_i) = c_i \quad (2.10)$$

$$\mu_1 = \frac{m_c}{m_w} \quad (2.11)$$

$$\mu_2 = \frac{m_c}{m_w + m_s} \quad (2.12)$$

$$V_5 = c_5 s_5 x_8^2 x_9 - 2x_{10} x_6 + g c_5 c_7 \quad (2.13)$$

$$V_6 = 2x_8 (c_5 x_6 x_9 + s_5 x_{10}) + 2g s_7 \quad (2.14)$$

$$V_7 = (s_5 x_8)^2 x_9 + g s_5 c_7 + x_6^2 x_9 \quad (2.15)$$

2.3.1 Model nieliniowy

$$\begin{aligned}
\dot{x}_1 &= x_2 \\
\dot{x}_2 &= u_1 = \mu_1 c_5 u_3 \\
\dot{x}_3 &= x_4 \\
\dot{x}_4 &= u_2 + \mu_2 s_5 s_7 u_3 \\
\dot{x}_5 &= x_6 \\
\dot{x}_6 &= (s_5 u_1 - c_5 s_7 u_2 + (\mu - \mu_2 s_7^2) c_5 s_5 u_3 + V_5) / x_9 \\
\dot{x}_7 &= x_8 \\
\dot{x}_8 &= -(c_7 u_2 + \mu_2 s_5 c_7 s_7 u_3 + V_6) / (s_5 x_9) \\
\dot{x}_9 &= x_9 \\
\dot{x}_{10} &= -c_5 u_1 - s_5 s_7 u_2 - (1 + \mu_1 c_5^2 + \mu_2 s_5^2 s_7^2) u_3 + V_7
\end{aligned} \tag{2.16}$$

2.3.2 Model liniowy

Przyjmując następujące przybliżenia:

dla $\alpha \simeq \frac{\pi}{2}$ $\cos(\alpha) \simeq -\alpha$, $\sin(\alpha) \simeq 1$ oraz dla $\beta \simeq 0$ $\cos(\beta) \simeq 1$, $\sin(\beta) \simeq \beta$ otrzymano:

$$\begin{aligned}
\dot{x}_1 &= x_2 \\
\dot{x}_2 &= u_1 - \mu_1 x_5 u_3 \\
\dot{x}_3 &= x_4 \\
\dot{x}_4 &= u_2 + \mu_2 x_7 u_3 \\
\dot{x}_5 &= x_6 \\
\dot{x}_6 &= (u_1 - \mu_1 x_5 u_3 - g x_5 - 2 x_6 x_{10}) / x_9 \\
\dot{x}_7 &= x_8 \\
\dot{x}_8 &= -(u_2 + \mu_2 x_7 u_3 + g x_7 + 2 x_8 x_{10}) / x_9 \\
\dot{x}_9 &= x_{10} \\
\dot{x}_{10} &= 0;
\end{aligned} \tag{2.17}$$

2.3.3 Przykładowy regulator PID i PD

Nastawy regulatora PID oś X.

$$K = 10$$

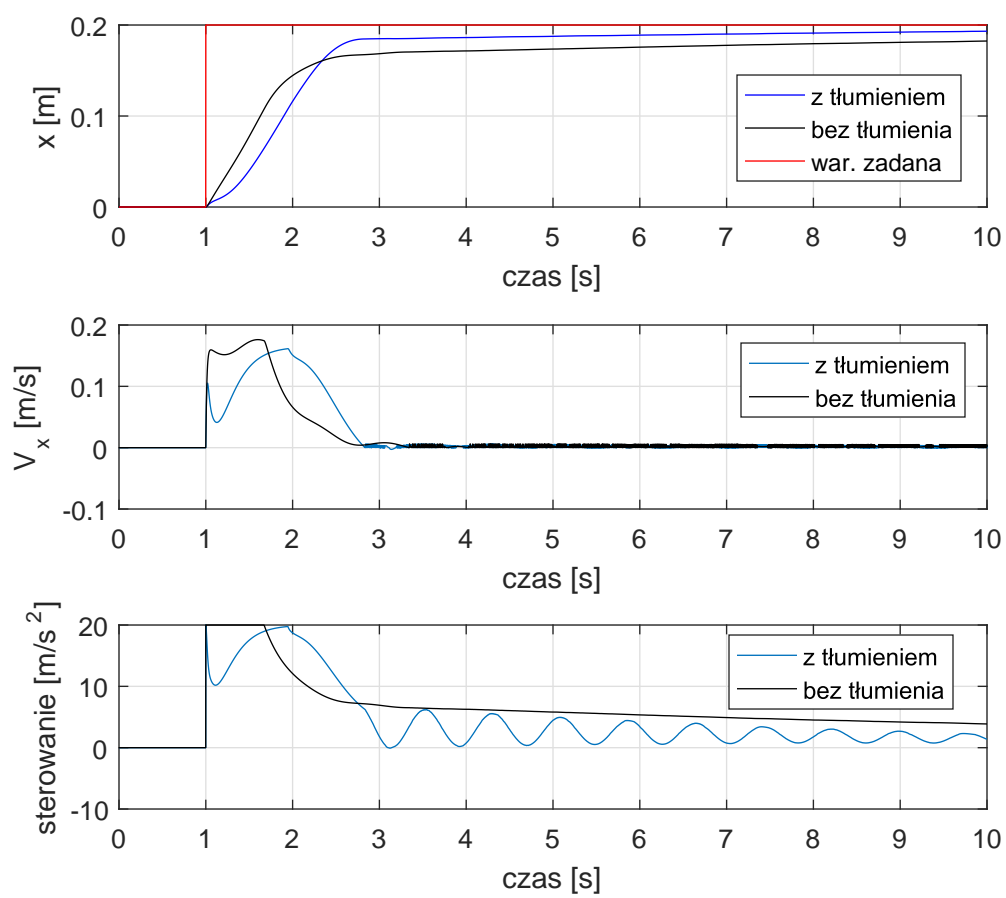
$$Ti = 0.005$$

$$Td = 2$$

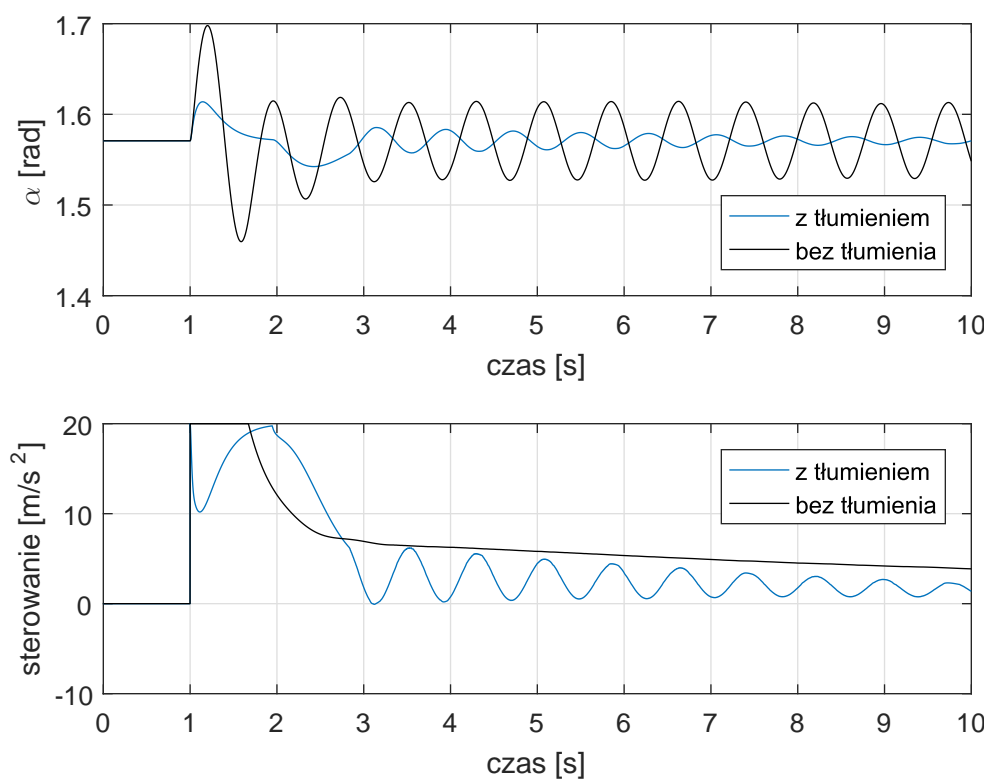
Nastawy regulatora PD kąt α .

$$P = 10$$

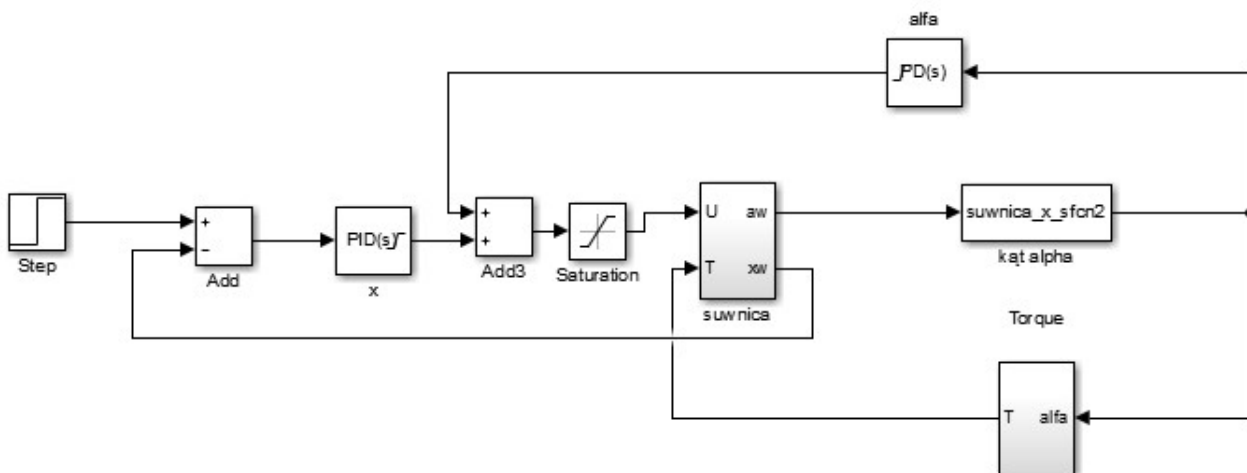
$$Td = 0.5$$



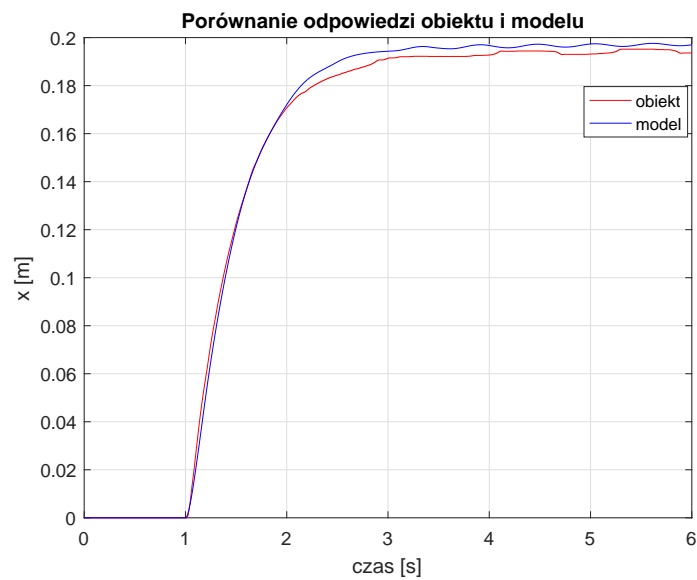
Rys. 2.18: Model liniowy - współrzędne wózka.



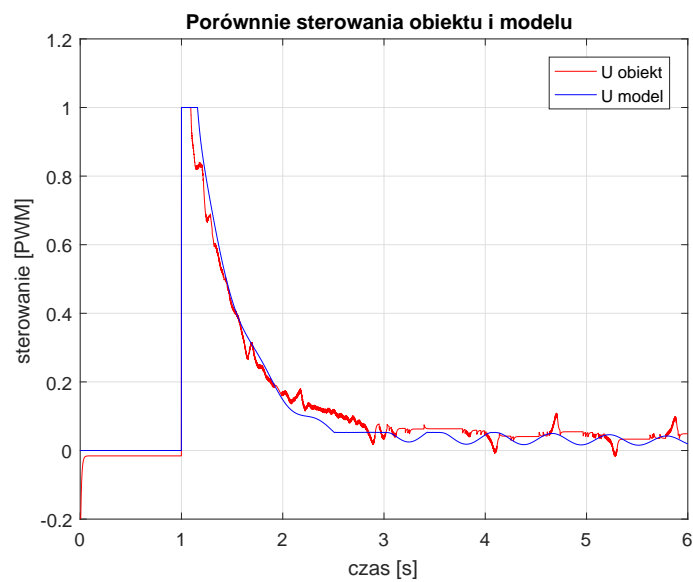
Rys. 2.19: Model liniowy - kąty wychyleń ładunku.



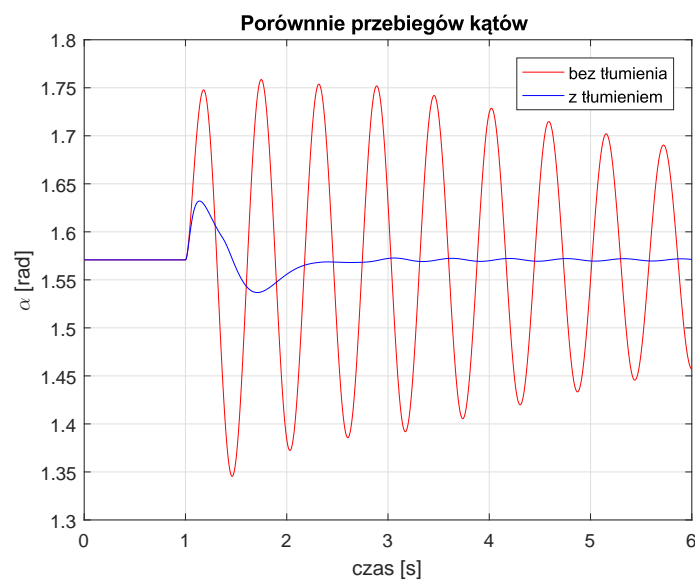
Rys. 2.20: Schemat sterowania oś X.



Rys. 2.21: Porównanie odpowiedzi obiektu i modelu .



Rys. 2.22: Porównanie sterowania obiektu i modelu .



Rys. 2.23: Przykład działania tłumienia drgań ładunku - model oś X.

Bibliografia

- [1] Pauluk, M.: *Model matematyczny trójwymiarowej suwnicy*. W: **Automatyka** 2002 tom 6 s. 69-102, ISSN: 1429-3447
- [2] Pauluk, M.: *Optimal and robust control of 3D crane*. W: **Przegląd Elektrotechniczny**, 2012 vol. 2 pp. 205-212 ISSN: 0033-2097